

N<sup>o</sup> 22. **H. Mislin** und **H. Helfer**, Mainz. — Vergleichende quantitativ-anatomische Untersuchungen an glatten Muskelzellen der Flughautgefäße (Chiroptera). — (Mit 3 Textabbildungen und 2 Tabellen.)

(Aus dem Zoologischen Institut der Universität Mainz.)

Die von uns schon früher (1947) festgestellte auffallende Ähnlichkeit im Wandbau der Flughautvenen- und Arterien bei den Mikrochiropteren und die von uns ebenfalls ermittelten bedeutenden Unterschiede der beiden Gefäßarten hinsichtlich ihrer physiologischen Potenzen, legten eine Spezialuntersuchung über Form und Struktur der Gefäßmuskelnzellen nahe. Im folgenden wird vorerst nur über die Längenmesswerte der durch Mazeration isolierten Zellen aus Venen- und Arterienwand berichtet. Mit der Isolierung lebender Gefäßmuskelnzellen wurde eben erst begonnen, so dass wir uns hier auf die am konservierten Material gewonnenen Ergebnisse beschränken müssen.

Methodisch wurde so vorgegangen, dass die überlebenden isolierten Flughautgefäße von *Myotis myotis* B. und *Pteropus edulis* für drei bis sechs Stunden in die adäquate Ringerlösung eingelegt worden sind, um darin mit Bismarckbraun angefärbt zu werden. Die stark gefärbten Venen zeigten noch aktiven Puls. Ein Teil der isolierten Gefäße wurde ionalen Einflüssen ausgesetzt. Damit sollten Gefäße in verschiedenem Kontraktionszustand fixiert werden. Wir verwendeten Fixierungsflüssigkeiten mit extremen pH-Werten: Bouin'sches Fixierungsgemisch mit pH 1,4 und Neutralformol mit pH 7,7. Mazeriert wurde in 33% KOH nach der klassischen Methode. Die Längenmessungen der Muskelzellen betrafen Kollektive von jeweils mindestens 100 aus einer Venenwand und einer zugehörigen Arterienwand herausgelösten Zellen. Stets wurden mehrere entsprechende Zellkollektive von verschiedenen Stellen ein und derselben Vene bzw. Arterie und ebenfalls aus verschiedenen Pterygiumabschnitten mehrerer Individuen verglichen. Aus jeweils 2000 Einzelmessungen ging deutlich hervor, dass die Gefäßtopographie keinen Einfluss auf die Längenvariabilität der Gefäß-

muskelnzellen hatte. Somit war das Zusammenfassen von Kleinkollektiven mit 100 Zellen zu grösseren Einheiten gerechtfertigt. Die von uns ermittelten Zellängen-Verteilungskurven ergaben Streuungsbereiche die für Arterien und Venen annähernd gleich waren, Abb. 1 und Tab. 1 und 2.

Bei unserer Methodenprüfung ergab sich, dass die Aufenthaltsdauer der isolierten Flughautgefässe in der Bismarckbraun-Ringerlösung selbst nach 72 Stunden ohne Einfluss auf den Mittelwert der

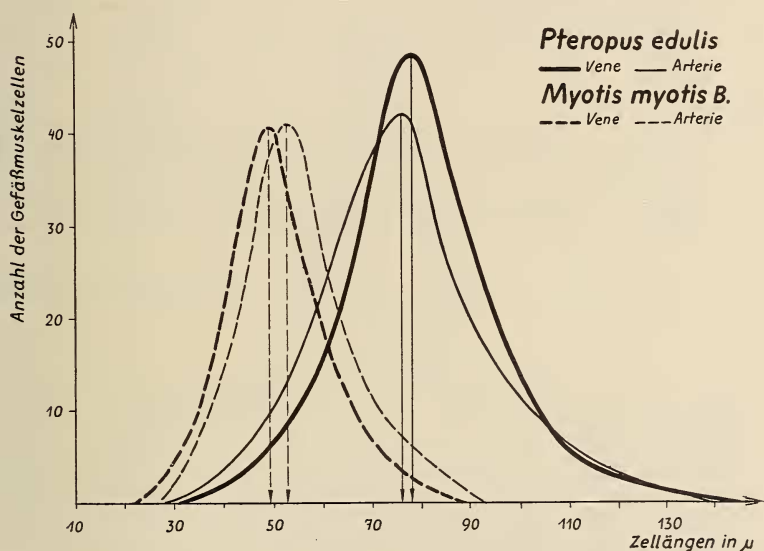


ABB. 1.

Verteilungskurven der Gefässmuskelnzellen (Bouin).

Zellängen geblieben ist. Bei der Fixierungsdauer konnten wir zwischen 5 Stunden und 2 Monaten variieren, ohne dass der Mittelwert eine Veränderung erfahren hätte. Bei der Mazeration erwies sich die Zeit zwischen 3 und 6 Stunden als günstig. Bei sehr kurzer Mazervationszeit waren „Zellverklebungen“ relativ zahlreich, während nach extrem langer Mazervationszeit, z. B. nach 48 Stunden, viele Zelltrümmer auftraten.

Zur Messung wurden die isolierten kernhaltigen Zellen mit deutlich erkennbaren spitzen Zellenden, bei 540-facher Vergrößerung projiziert und gezeichnet und mit einem Kurvenmesser

bei einer Messgenauigkeit von  $\pm 2\%$  gemessen. Für die Microchiropteren ergab sich, dass die Arterienmuskelzellen mit  $53 \mu$  geringfügig länger sind als die Venenmuskelzellen, die im Mittel

TABELLE 1.

Myotis myotis B.		Chiroptera-Ringer		Ringer-K		Ringer-Ca		Ringer-Kaliumoxalat	
		A	V	A	V	A	V	A	V
Bouin	Mittelwert $\pm 2\%$	53 $\mu$	49 $\mu$	72 $\mu$	56 $\mu$	61 $\mu$	58 $\mu$	56 $\mu$	57 $\mu$
	Variation	27 $\mu \rightarrow 92\mu$	19 $\mu \rightarrow 87\mu$	36 $\mu \rightarrow 108\mu$	36 $\mu \rightarrow 82\mu$	32 $\mu \rightarrow 95\mu$	32 $\mu \rightarrow 92\mu$	40 $\mu \rightarrow 79\mu$	36 $\mu \rightarrow 83\mu$
	Signifikanz	A > V		A > V		A > V		A = V	
	Anzahl d. Zellen	800	800	100	100	100	100	100	100
	mittl. quadrat. Streuung	17 $\mu$	13 $\mu$	24 $\mu$	10 $\mu$	20 $\mu$	18 $\mu$	8 $\mu$	14 $\mu$
	Zunahme	1% $\pm$ 0,53	1% $\pm$ 0,49	+10% >	+3%	4% =	4%	+2% <	+4%
Formol	Mittelwert $\pm 2\%$	45 $\mu$	46 $\mu$	59 $\mu$	53 $\mu$	56 $\mu$	47 $\mu$	48 $\mu$	48 $\mu$
	Variation	22 $\mu \rightarrow 69\mu$	22 $\mu \rightarrow 68\mu$	33 $\mu \rightarrow 93\mu$	27 $\mu \rightarrow 76\mu$	36 $\mu \rightarrow 80\mu$	30 $\mu \rightarrow 66\mu$	29 $\mu \rightarrow 67\mu$	25 $\mu \rightarrow 75\mu$
	Signifikanz	A = V		A > V		A > V		A = V	
	Anzahl d. Zellen	400	400	100	100	100	100	100	100
	mittl. quadrat. Streuung	8 $\mu$	7 $\mu$	17 $\mu$	11 $\mu$	10 $\mu$	8 $\mu$	7 $\mu$	15 $\mu$
	Zunahme	1% $\pm$ 0,45	1% $\pm$ 0,46	+6% >	+3%	+11% >	+1%	+1% <	+1%

Längenmessung der Gefäßmuskelzellen von *Myotis myotis* B. nach verschiedener ionaler Beeinflussung.

TABELLE 2.

Pteropus edulis		Chiroptera-Ringer		Ringer-Ca		Ringer-Kaliumoxalat		Ringer-Komplexon III	
		A	V	A	V	A	V	A	V
Bouin	Mittelwert $\pm 2\%$	77 $\mu$	79 $\mu$	83 $\mu$	79 $\mu$	83 $\mu$	81 $\mu$	79 $\mu$	88 $\mu$
	Variation	27 $\mu \rightarrow 137\mu$	27 $\mu \rightarrow 141\mu$	12 $\mu \rightarrow 141\mu$	32 $\mu \rightarrow 143\mu$	31 $\mu \rightarrow 133\mu$	34 $\mu \rightarrow 148\mu$	31 $\mu \rightarrow 141\mu$	39 $\mu \rightarrow 139\mu$
	Signifikanz	A < V		A > V		A > V		A < V	
	Anzahl d. Zellen	1000	1000	700	700	500	500	400	400
	mittl. quadrat. Streuung	16 $\mu$	13 $\mu$	15 $\mu$	14 $\mu$	15 $\mu$	12 $\mu$	12 $\mu$	18 $\mu$
	Zunahme	1% $\pm$ 0,77	1% $\pm$ 0,79	+8% >	+0%	+8% >	+3%	+3% <	+11%

Längenmessung der Gefäßmuskelzellen von *Pteropus edulis* B. nach verschiedener ionaler Beeinflussung.

49  $\mu$  erreichten. Messbeobachtungen an kleineren Kollektiven von je 100 Zellen ergaben ein weniger eindeutiges Ergebnis. Es hat sich gezeigt, dass hinsichtlich der Zelllängen alle drei Möglichkeiten auftraten, dass also A gleich V, A grösser als V und A kleiner als V sein konnte, so dass die statistisch gesicherte Aussage, die Arterienmuskelzellen seien absolut grösser als die Venenmuskelzellen, problematisch blieb. Zur Entscheidung dieser Frage haben wir die

isolierten Gefäßmuskelzellen einerseits in das Bouin'sche Fixierungsgemisch und andererseits in Neutralformol überführt. Beide Fixierungsmethoden ergaben grundsätzlich ein übereinstimmendes Resultat. Es fiel lediglich auf, dass die Muskelzellen in Neutralformol eine etwas stärkere Verkürzung als in Bouin-Gemisch erfahren haben. Abb. 2 und Tab. 1.

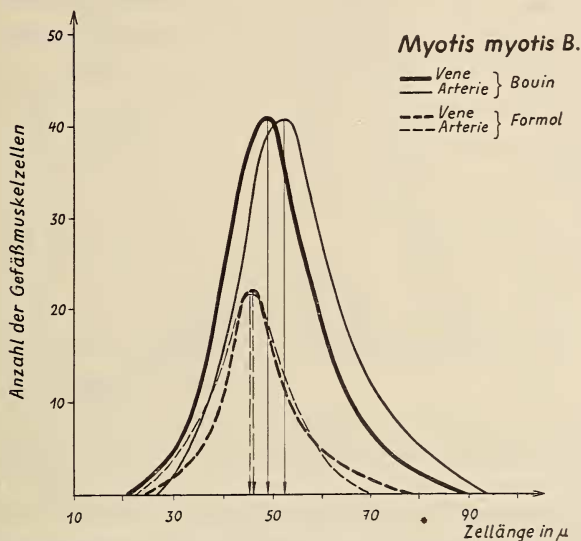


ABB. 2.

Verteilungskurven der Gefäßmuskelzellen (Bouin und Neutralformol).

Bei früheren, bis jetzt noch nicht veröffentlichten Untersuchungen, haben wir an der isolierten Flughautvene (Präparat des Venensäckchens 1949) deutliche ionale Effekte ermittelt. Dieselben waren jedoch nur an Gefäßen mit einer besonderen Funktionsbereitschaft zu erzielen. Unter diesen Umständen erhielt man einen systolischen Ca-Effekt und einen diastolischen K-Effekt. In K-freiem Ringer verengerte sich die Vene bis zu völligem Lumenschwund, während das Gefäß sich in Ca-freiem Ringer maximal dilatierte. Wie gesagt, konnte man diese antagonistischen Ionen-Wirkungen nur an einem Gefäß mit bestimmter Funktionsbereitschaft regelmässig beobachten.

Im Hinblick auf diese möglichen Ionen-Effekte haben wir den Standardringer variiert und die Vitalfärbungen der isolierten Gefäße in Ringer — K, Ringer — Ca, Ringer + Kaliumoxalat, Ringer

+ Komplexon III, Ringer + Komplexon III — K und Ringer + Oxalat — Ca vorgenommen. Abb. 3 und Tab. 1.

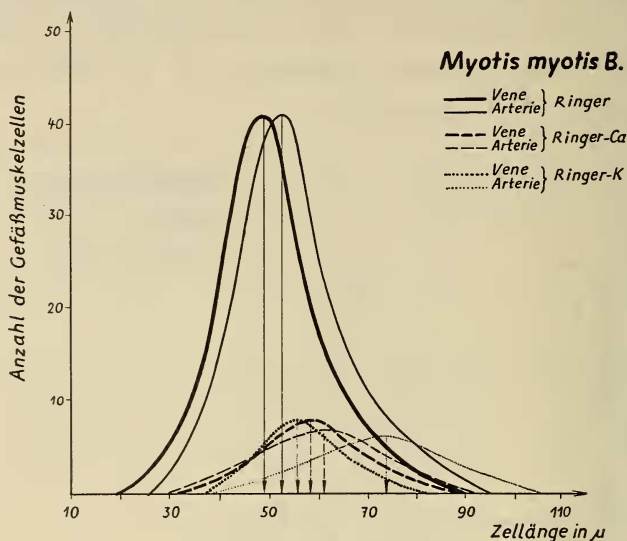


ABB. 3.

Verteilungskurven der Gefäßmuskulatur (Bouin nach ionaler Beeinflussung).

Die verwendeten Ionen-Mischungen sind, wie hier betont werden muss, nicht systematisch im Hinblick auf zu erzielende Ionen-Effekte vorgenommen worden, sondern lediglich, um zu prüfen, ob auch am toten Material, also nach Fixierung und Mazeration noch der Einfluss einer Vorbehandlung dieser Art am Gefäß wahrgenommen werden konnte. Es ergibt sich, dass Veränderungen der Gefäße, die zweifellos auf die ionale Vorbehandlung zurückzuführen sind, sich auch noch nach Fixierung und Mazeration bemerkbar machen. Und wir können daraus den Schluss ziehen, dass es sich bei den von uns erhaltenen Messwerten sicher nicht um ermittelte absolute Zelllängen handeln kann, sondern um relative Zelllängen in Abhängigkeit von einem bestimmten Verkürzungszustand der isolierten Muskelzellen. Der K-Effekt war auf die untersuchten Zellen stets verlängernd und an den Arterienmuskulaturzellen eindeutig stärker nachzuweisen. Aber auch die Ca-Ionen hatten auf die Muskelzellen einen verlängernden Einfluss. Das Ca-Ion verlängerte in der Regel die Arterienzellen stärker als die Venenzellen. Die Befunde lassen keine weiteren Aussagen zu.

Wir können nur an den Veränderungen der Zellängen feststellen, dass nach Beeinflussung mit Ionen eine Wirkung geschehen ist. Wir finden signifikante Unterschiede zu den Normalwerten, Verlängerungen der Muskelzellen von 77  $\mu$  auf 83  $\mu$ , also ca. 8%. Dieses Verhältnis zeigt sich z. B. bei den Megachiropteren, bei denen sich noch überdies gezeigt hat, dass die Venen-Muskelzellen und die Arterienmuskelzellen ca. doppelt so lang sind wie bei den Microchiropteren. Der Befund, dass die Venenmuskelzellen bei den Flughunden geringfügig länger waren als die Arterienzellen, kann damit zusammenhängen, dass der von uns verwendete Chiroptera-Ringer für die Flughunde in seiner ionalen Zusammensetzung ungenügend equilibriert war. In dieser Richtung laufen zurzeit weitere Versuche. Als Hauptergebnis halten wir fest: Die Muskelzellen der Flughautgefäße bei Micro- und Megachiropteren unterscheiden sich offenbar nur hinsichtlich der Grösse. Sie sind bei den Flughunden ca. 50% länger als bei den Kleinfledermäusen. Die Arterienmuskelzellen sind wahrscheinlich in keinem Fall absolut länger als die Venenmuskelzellen.

Die von uns gemessenen Zellängen scheinen in Beziehung zu stehen zu einem bestimmten physiologischen Verkürzungszustand, den wir jeweils in unserem Zellkollektiv gerade erfasst haben (3+4). Nur so also wären die Arterienzellen im Mittel länger als die Venen-zellen. Zur eigentlichen Erfassung der Ionen-Wirkungen auf die Zellängen werden zurzeit Flughautgefäße nur dann fixiert bzw. mazeriert, an denen eindeutige systolische bzw. diastolische Extremzustände im Versuch bereits erzielt werden konnten.

Wir danken Fräulein **L. Riesterer** und dem Technischen Assistenten Herrn **W. Kaffrell** für ihre zuverlässige Mitarbeit bei der Ausarbeitung des grossen Zellmaterials.

#### LITERATUR

1. Kl. GOERTLER und G. GRUPP. 1956. *Über die Ausmessung glatter Muskelfasern zur Feststellung ihres Kontraktionszustandes*. Z. Zellforsch. 44: 191-207.
2. G. GRUPP und Kl. GOERTLER. 1958. *Herbeiführen und Fixieren verschiedener Kontraktionszustände glatter Muskelfasern*. Z. f. wiss. Mikroskopie + mikr. Technik 63: 397-418.
3. H. MISLIN. 1947. *Das Präparat des Venensäckchens*. Helv. Physiol. Acta 5, C3-C4.
4. H. MISLIN und M. KAUFFMANN. 1947. *Beziehung zwischen Wandbau und Funktion der Flughautvenen (Chiroptera)*. Rev. suisse Zool. 54, Nr. 8, 240-245.